

گروه‌های آناستوموزی *Rhizoctonia solani* از سیب‌زمینی و بررسی گروه‌های سازگار رویشی آنها با استفاده از مشخصات ریخت‌شناسی و نشانگر RAPD\*

**ANASTOMOSIS GROUPS OF *Rhizoctonia solani* FROM POTATO AND SURVEY OF SOMATIC COMPATIBLE GROUPS BY MORPHOLOGICAL CHARACTERS AND RAPD MARKER**

روشن محمدی بایتمر<sup>۱</sup>، محمد سالاری<sup>۱</sup> و دوستمراد ظفری<sup>۲\*</sup>

(تاریخ دریافت: ۸۷/۱۲/۲۷؛ تاریخ پذیرش: ۸۸/۱۲/۵)

**چکیده**

با استفاده از مشخصات ریخت‌شناسی و نشانگر RAPD، ۵۸ جدایه *Rhizoctonia solani* جدا شده از غده و ساقه زیرزمینی سیب‌زمینی، از استان‌های همدان و کردستان مورد بررسی قرار گرفتند. تمامی جدایه‌ها چند هسته‌ای بودند و در میان آنها ۵۶ جدایه متعلق به AG-3، یک جدایه متعلق به AG-4 و یک جدایه با هیچ کدام از گروه‌های آناستوموزی محک در دسترس آناستوموز نداد. در بررسی گروه‌های سازگار رویشی، ۵۶ جدایه متعلق به AG-3 روی محیط کشت PDA حاوی یک درصد زغال فعال با یکدیگر جفت شدند و ۴۳ گروه سازگار رویشی حاصل شد. در ۳۵ گروه از آنها، هر یک تنها دارای یک جدایه بودند. یک گروه که به‌عنوان بزرگ‌ترین گروه شناخته شد (EE) دارای چهار جدایه بود که همگی از مزارع قروه کردستان جداسازی شده بودند و هفت گروه باقی‌مانده دارای دو یا سه جدایه بودند. شدت بیماری‌زایی جدایه‌های متعلق به AG-3 به‌عنوان یک گروه، روی جوانه‌های سیب‌زمینی نسبت به جدایه‌ی متعلق به AG-4 بالاتر بود و جدایه نامشخص، علائمی ایجاد نکرد. در نهایت تنوع ژنتیکی چهار گروه سازگار رویشی انتخابی شامل T، F، E و EE توسط نشانگر RAPD آزمایش شد. نتایج تجزیه خوشه‌ای بر اساس روش UPGMA و ضریب جاکارد نشان داد که جدایه‌ها در سطح تشابه حداقل ۴۲ درصد به چهار گروه تقسیم شدند و نتایج بررسی‌های ریخت‌شناسی را تایید نمود.

واژه‌های کلیدی: RAPD، *Anastomosis Solanum tuberosum*، همدان، کردستان

\*: بخشی از پایان‌نامه کارشناسی ارشد نگارنده اول، ارائه شده به دانشکده کشاورزی، دانشگاه زابل

\*\* : مسئول مکاتبات، پست الکترونیکی: zafari\_d@yahoo.com

۱. به ترتیب دانشجوی سابق کارشناسی ارشد و استادیار بیماری‌شناسی، دانشکده کشاورزی، دانشگاه زابل

۲. دانشیار بیماری‌شناسی گیاهی، دانشکده کشاورزی، دانشگاه بوعلی سینا، همدان

## مقدمه

آمده از چغندر قند را از یکدیگر تفکیک نمودند. سرزینی و همکاران (Ceresini *et al.* 2002) نشان دادند که جدایه‌های *R. solani* AG-3 با الگوهای AFLP یکسان، از لحاظ رویشی با یکدیگر سازگار هستند. هم‌چنین بلالی و همکاران (Balali *et al.* 2007) با استفاده از نشانگرهای مولکولی و مطالعات بیوشیمیایی، تنوع میان جدایه‌های *R. solani* AG-3 به دست آمده از سیب‌زمینی در مناطق مرکزی ایران و جنوب استرالیا را به اثبات رسانده‌اند. هر چند که تاکنون گروه‌های آناستوموزی به‌عنوان یک مشخصه مهم در طبقه‌بندی *R. solani* به‌کار گرفته شده است، ولی محققین اعتقاد دارند که می‌توان از واکنش‌های رویشی جهت تفکیک جدایه‌های با خصوصیات ژنتیکی متفاوت یا نزدیک به یکدیگر استفاده کرد (Cubeta & Vilgalys 1997). هدف این تحقیق، شناسایی ریزوکتونیاهای مرتبط با سیب‌زمینی در استان‌های همدان و کردستان و بررسی گروه‌های سازگار رویشی آنها با استفاده از مشخصات ریخت‌شناسی و بررسی مولکولی و مقایسه نتایج آنها می‌باشد.

## روش بررسی

در بهار و تابستان سال ۱۳۸۵، از مزارع و انبارهای سیب‌زمینی در مناطق مختلف استان‌های همدان و کردستان نمونه‌برداری به‌عمل آمد. جداسازی بیمارگر از اسکروت‌های سطح غده‌ها و اندام‌های آلوده سیب‌زمینی و هم‌چنین شناسایی آنها بر اساس روش کارلینگ و سامنر (Carling & Sumner 1993) انجام شد. خالص‌سازی به روش نوک ریشه (Hyphal Tip) انجام شد.

جهت تعیین وضعیت هسته و گروه‌های آناستوموزی جدایه‌های به‌دست آمده، از گروه‌های آناستوموزی محک در دسترس شامل AG-1-IB، AG-2-2-B، AG-3، AG-4،

بیماری ریزوکتونیایی سیب‌زمینی ناشی از *R. solani* Kuhn (Tel: *Thantephorus cucumeris* Donk) یکی از بیماری‌های مهم سیب‌زمینی در مناطق خنک جهان است. این قارچ در اوایل فصل رشد باعث ایجاد شانکر روی ساقه و استولن شده و در انتهای فصل منجر به تشکیل توده‌های سیاه روی غده‌های دختری می‌شود (Stevenson *et al.* 2004, Carling *et al.* 1989). در ایران ریزوکتونیاهای دوهسته‌ای و چندهسته‌ای گزارش شده است (Poozeshi *et al.* 2006). در حال حاضر ۱۴ گروه آناستوموزی (AG-1 تا AG-13 و AG-BI) از *R. solani* گزارش شده است که بیماری‌زایی و دامنه میزبانی آنها با یکدیگر متفاوت می‌باشد (Carling *et al.* 2002).

جفت‌کردن جدایه‌های ناسازگار رویشی *R. solani* منجر به تشکیل ریشه‌های هتروکاریون در محل تلاقی میسلیوم‌ها می‌شود که به‌صورت یک مرز در بین پرگنه‌های آنها قابل تشخیص است (Butler & Bolkan 1973). این محققین با استفاده از محیط کشت PDA اصلاح شده با یک درصد زغال فعال توانستند در کمترین زمان واکنش ناسازگاری رویشی را مشاهده کنند. هم‌چنین دسته‌های میسلیوم هتروکاریون در جدایه‌های ناسازگار روی این محیط ضخیم‌تر بود.

تودا و همکاران (Toda *et al.* 1999) با استفاده از نشانگر RAPD توانستند جدایه‌های AG-D را به دو زیر گروه AG-D (I) و AG-D (II) تقسیم نمایند. هر چند که نشانگر RAPD برای تفکیک جدایه‌های متعلق به گروه‌های آناستوموزی مختلف نیز استفاده شده است (Momeni *et al.* 2005). محمودی و مصباح (Mahmoudi & Mesbah 2005) با استفاده از نشانگر RAPD، جدایه‌های متعلق به گروه‌های آناستوموزی مختلف به‌دست

در بررسی تنوع ژنتیکی توسط نشانگر RAPD، از دوازده آغازگر تصادفی ۱۰ نوکلئوتیدی شامل OPE 01، OPE 02، OPE 03، OPE 04، OPE 07، OPE 14، OPE 15، OPE 16، OPE 19، OPE 20، OPA 02 و R 20 استفاده شد. تکثیر DNA در حجمی معادل ۵۰ میکرولیتر از مخلوط واکنش PCR شامل پنج میکرولیتر بافر PCR (10 X)، ۲/۵ میکرولیتر Mg CL2 (50mM)، یک میکرولیتر dNTPs (10 mM)، پنج میکرولیتر آغازگر (10 Pmol/μl)، ۰/۶ میکرولیتر آنزیم Taq DNA Polymerase (5u/μl) و ۳۰/۹ میکرولیتر آب مقطر دیونیزه به همراه پنج میکرولیتر DNA (10ng/μl) انجام شد. محصول PCR در ولتاژ ۸۰ به مدت ۲/۵ ساعت روی ژل آگارز ۱/۵ درصد الکتروفورز شد. بعد از رنگ آمیزی ژل با اتیدیوم بروماید، نتایج با استفاده از نرم افزار NTSYS V.2.2 روش UPGMA و ضریب تشابه جاکارد تجزیه و تحلیل انجام شد.

### نتایج و بحث

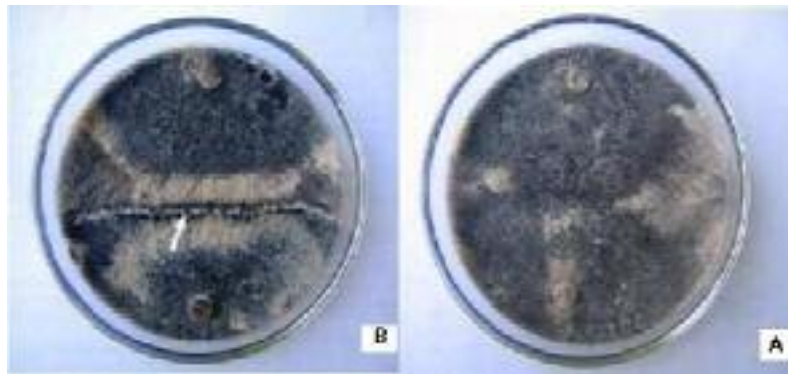
از میان نمونه‌های جمع‌آوری شده، در مجموع هشت جدایه ریزوکتونیا از غده‌های انباری و ۵۰ جدایه از اندام‌های زیرزمینی سیب‌زمینی به دست آمد. از ۵۸ جدایه به دست آمده، ۵۶ جدایه متعلق به AG-3، یک جدایه متعلق به AG-4 و یک جدایه با هیچ‌کدام از گروه‌های آناستوموزی محک در دسترس در این بررسی واکنش نداد. جدایه‌ی قرار گرفته در AG-4 از اسکروت‌های سطح غده بذری جداسازی شد ولی جدایه نامشخص از ساقه آلوده به دست آمد. در غالب موارد واکنش آناستوموز صورت گرفته بین جدایه‌های مجهول و جدایه محک از نوع آناستوموز ناقص (C۲) بود. در این حالت سلول‌های آناستوموز دهنده و گاهی سلول‌های مجاور آنها از بین می‌روند. واکنش آناستوموزی C۲ نشان‌دهنده وجود

AG-5، AG-6، AG-8، AG-9، AG-10، AG-11 و AG-13 و از تکنیک اسلاید تمیز توصیف شده توسط کرونانلد و استانگ‌لینی (Kronland & Stanghellini 1988) استفاده شد.

جهت تعیین گروه‌های سازگار رویشی، جدایه‌های متعلق به AG-3 بر اساس روش سرزینی و همکاران (Ceresini et al. 2002) روی محیط کشت PDA حاوی یک درصد زغال فعال با یکدیگر جفت شدند. محل تلاقی پرگنه‌های دو جدایه، بعد از چهار روز نگهداری در دمای ۲۵°C، به صورت ماکروسکوپی بررسی شد (شکل ۱).

آزمایش بیماری‌زایی روی ۲۵ جدایه انتخابی شامل ۲۳ جدایه متعلق به AG-3، جدایه AG-4 و جدایه نامشخص، بر اساس روش کارلینگ و لاینر (Carling & Leiner 1990) روی جوانه‌های سیب‌زمینی انجام گرفت. شدت بیماری روی ساقه‌های جوان گیاهان سیب‌زمینی طبق روش کارلینگ و لاینر (Carling & Leiner 1990) ارزیابی شد و داده‌های به دست آمده با استفاده از نرم‌افزار آماری SAS تجزیه و تحلیل گردید.

چهار گروه سازگار رویشی E، F، T و EE (جدول ۱) که شامل ۱۰ جدایه AG-3 *R. solani* بودند، جهت انجام آزمایش RAPD مورد استفاده قرار گرفتند. ابتدا این جدایه‌ها درون فلاسک‌های حاوی ۱۵۰ میلی‌لیتر محیط مایع سترون شده MYP کشت شدند و در داخل دستگاه شیکر انکوباتور در دمای ۲۵°C و شرایط تاریکی، با سرعت ۱۲۰ دور در دقیقه قرار گرفتند. پس از ۱۵ روز توده‌ی میسلیومی صاف شد. DNA با استفاده از روش هگزا-دسیل-تری-متیل آمونیوم بروماید (Hexa-Decyl-Tri Methyl Ammonium Bromide, CTAB, Sigma Chemical Co.) استخراج شد (Murray & Thompson 1980).



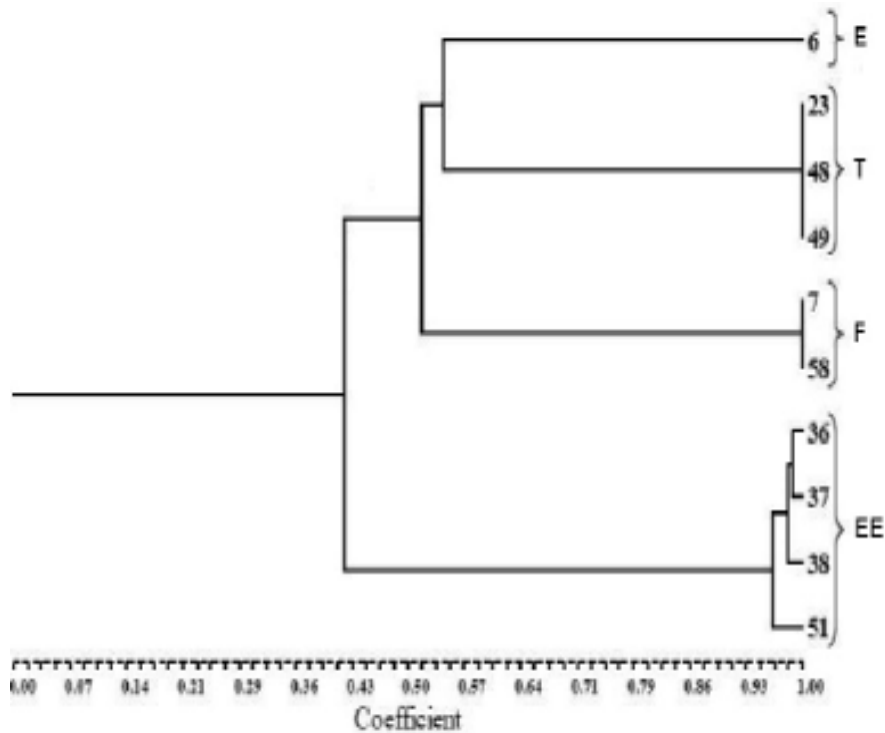
شکل ۱. بررسی سازگاری رویشی بین جدایه‌های *Rhizoctonia solani* به دست آمده از سیب زمینی. واکنش صورت گرفته بین دو جدایه سازگار رویشی (A) و دو جدایه ناسازگار رویشی (B). پیکان، مرز تشکیل شده ناشی از تشکیل ریشه‌های هتروکاریون را نشان می‌دهد.

Fig. 1. Somatic compatible examination among *Rhizoctonia solani* isolates obtained from potato. Accomplished interaction between two somatically compatible isolates (A) and two somatically incompatible isolates (B). Arrow, shown the reaction line caused by formation of heterocarions hypha.

جدول ۱. نتایج بررسی گروه‌های سازگار رویشی جدایه‌های متعلق به *Rhizoctonia solani* AG-3

Table 1. Results of somatic compatible group test in isolates of *Rhizoctonia solani* AG-3.

شماره جدایه(ها)	نام گروه	ردیف	شماره جدایه(ها)	نام گروه	ردیف	شماره جدایه(ها)	نام گروه	ردیف
Isolate(s)	Group	Row	Isolate(s)	Group	Row	Isolate(s)	Group	Row
36, 37, 38 و 51	EE	31	18	P	16	2	A	1
39	FF	32	20	Q	17	3	B	2
40	GG	33	21	R	18	4 و 47	C	3
41	HH	34	22	S	19	5	D	4
42	II	35	23, 24 و 48	T	20	6	E	5
43	JJ	36	24	U	21	7 و 58	F	6
44	KK	37	25	V	22	8	G	7
45	LL	38	26	W	23	9	H	8
50	MM	39	27	X	24	10	I	9
52	NN	40	28	Y	25	11 و 59	J	10
53	OO	41	29, 34 و 54	Z	26	12, 13 و 33	K	11
55 و 57	PP	42	30	AA	27	14	L	12
56	QQ	43	31	BB	28	15	M	13
			32	CC	29	16	N	14
			35	DD	30	17	O	15



شکل ۲. دندروگرام به دست آمده از بررسی نتایج RAPD با استفاده از روش UPGMA و ضریب جاکارد که بیانگر ارتباط ژنتیکی جدایه‌های قرار گرفته در هر کدام از گروه‌های سازگار رویشی می‌باشد.

Fig. 2. Dendrogram obtained from RAPD test using UPGMA method and Jaccard coefficient explaining genetic relationship between each group isolates.

به سایر گروه‌های آناستوموزی نسبت به دماهای پایین مقاوم‌تر است (Sneh *et al.* 1991). البته با بالا رفتن دمای خاک، سایر گروه‌های آناستوموزی نیز فعال می‌شوند ولی از آنجا که گیاه در این مرحله کاملاً توسعه می‌یابد قارچ دیگر قادر به ایجاد شانکر روی اندام‌های زیرزمینی آن نمی‌باشد و ممکن است فقط روی غده‌های دختری ایجاد اسکروت نماید (Carling & Leiner 1990). از نظر تعداد هسته، تمام جدایه‌های جمع‌آوری شده چندهسته‌ای بودند که با مطالعات صورت گرفته در ژاپن و پاکستان روی ریزوکتونیاهای مرتبط با سیب‌زمینی مطابقت دارد (Sneh *et al.* 1991, Rauf *et al.* 2007).

از ۵۶ جدایه مورد بررسی در آزمایش گروه‌های سازگار رویشی، ۴۳ گروه سازگار رویشی به دست آمد (جدول ۱).

تفاوت‌های ژنتیکی بین جدایه‌ها می‌باشد (MacNish *et al.* 1995). در اکثر مناطق سیب‌زمینی کاری جهان به غیر از AG-3 سایر گروه‌های آناستوموزی بیماری‌زایی چندانی روی سیب‌زمینی ندارند (Rauf *et al.* 2007, Chang & Tu 1980). با این حال به غیر از AG-3، گروه‌های آناستوموزی دیگری از جمله AG-1-IA، AG-2-1، AG-2-2، AG-4، AG-5، AG-6 و AG-7 در ارتباط با غده و گیاهان سیب‌زمینی گزارش شده است (Farrokhi-Nijad *et al.* 2007). بیش از ۹۶ درصد جدایه‌های به دست آمده در این بررسی *R. solani* AG-3 بودند. این بدان دلیل است که کشت سیب‌زمینی در این منطقه (به‌ویژه در استان همدان) از اواسط اسفند ماه شروع می‌شود و هم‌چنین AG-3 نسبت

از میان این جدایه‌ها، ۳۵ جدایه تنها با پرگنه‌های خود سازگاری نشان دادند و هر کدام از آنها به تنهایی یک گروه را تشکیل دادند و ۲۱ جدایه باقی‌مانده در قالب هشت گروه سازگار رویشی شامل C, F, J, K, T, Z, EE و PP قرار گرفتند. در این حالت جدایه‌های قرار گرفته در هر گروه علاوه بر سازگاری با پرگنه‌های خود با پرگنه سایر جدایه‌های قرار گرفته در آن گروه نیز از لحاظ رویشی سازگار بودند. نتایج به دست آمده، با تحقیقات مک‌نیش و همکاران (MacNish *et al.* 1995) مطابقت داشت. مطالعات سرزمینی و همکاران (Ceresini *et al.* 2002) نیز نتایج این تحقیق را تایید می‌کند. آنها با انجام آزمایش گروه‌های سازگار رویشی روی ۳۲ جدایه جمع‌آوری شده از سیب‌زمینی در مناطق جغرافیایی مختلف کارولینای شمالی، ۲۸ گروه سازگار رویشی را شناسایی کردند. جدایه‌هایی که از مزارع مختلف جمع‌آوری شده بودند از لحاظ رویشی با یکدیگر ناسازگار بودند و موارد سازگار تنها محدود به چهار جفت جدایه بود که دو به دو از یک مزرعه جداسازی شده بودند. در نهایت می‌توان به این نتیجه دست یافت که جدایه‌های AG-3 *R. solani* به دست آمده از سیب زمینی نسبت به جدایه‌های به دست آمده از سایر میزبان‌ها، تنوع ژنتیکی بالاتری نشان می‌دهند (Mahmoud *et al.* 2007). این موضوع توسط بلالی و همکاران (Balali *et al.* 1995, Balali *et al.* 2007) در بررسی این قارچ روی سیب‌زمینی مزارع استرالیا و نواحی مرکزی ایران به اثبات رسیده است.

از میان ۱۲ آغازگر تصادفی مورد استفاده در آزمایش RAPD روی ۱۰ جدایه متعلق به AG-3 که در قالب چهار گروه سازگار رویشی شامل E, F, T و EE قرار گرفته بودند، ۱۱ آغازگر بر اساس چندشکلی به دست آمده انتخاب شدند. بر اساس دندروگرام حاصل از تجزیه و تحلیل نتایج الگوی باندهای، جدایه‌های مورد آزمایش با سطح تشابه ۴۲ درصد در چهار گروه قرار گرفتند که با نتایج حاصل از بررسی‌های ریخت‌شناسی مطابقت داشت (شکل ۲). هر چند که تمامی جدایه‌های متعلق به گروه EE، از یک مزرعه در شهرستان قروه جداسازی شده بودند، اما این گروه با سطح تشابه ۹۶ درصد به دو گروه تقسیم شد. بنابراین، عدم تشابه کامل جدایه‌های AG-3 *R. solani* متعلق به یک مزرعه، از یک طرف بیانگر وجود تنوع ژنتیکی بالا در میان جدایه‌های

از میان این جدایه‌ها، ۳۵ جدایه تنها با پرگنه‌های خود سازگاری نشان دادند و هر کدام از آنها به تنهایی یک گروه را تشکیل دادند و ۲۱ جدایه باقی‌مانده در قالب هشت گروه سازگار رویشی شامل C, F, J, K, T, Z, EE و PP قرار گرفتند. در این حالت جدایه‌های قرار گرفته در هر گروه علاوه بر سازگاری با پرگنه‌های خود با پرگنه سایر جدایه‌های قرار گرفته در آن گروه نیز از لحاظ رویشی سازگار بودند. نتایج به دست آمده، با تحقیقات مک‌نیش و همکاران (MacNish *et al.* 1995) مطابقت داشت. مطالعات سرزمینی و همکاران (Ceresini *et al.* 2002) نیز نتایج این تحقیق را تایید می‌کند. آنها با انجام آزمایش گروه‌های سازگار رویشی روی ۳۲ جدایه جمع‌آوری شده از سیب‌زمینی در مناطق جغرافیایی مختلف کارولینای شمالی، ۲۸ گروه سازگار رویشی را شناسایی کردند. جدایه‌هایی که از مزارع مختلف جمع‌آوری شده بودند از لحاظ رویشی با یکدیگر ناسازگار بودند و موارد سازگار تنها محدود به چهار جفت جدایه بود که دو به دو از یک مزرعه جداسازی شده بودند. در نهایت می‌توان به این نتیجه دست یافت که جدایه‌های AG-3 *R. solani* به دست آمده از سیب زمینی نسبت به جدایه‌های به دست آمده از سایر میزبان‌ها، تنوع ژنتیکی بالاتری نشان می‌دهند (Mahmoud *et al.* 2007). این موضوع توسط بلالی و همکاران (Balali *et al.* 1995, Balali *et al.* 2007) در بررسی این قارچ روی سیب‌زمینی مزارع استرالیا و نواحی مرکزی ایران به اثبات رسیده است.

در بررسی آزمایش بیماری‌زایی، از میان ۲۳ جدایه انتخابی متعلق به AG-3، ۲۱ جدایه روی جوانه‌های سیب‌زمینی ایجاد بیماری کردند. جدایه‌های AG-3 نسبت به جدایه AG-4 دارای پتانسیل بیماری‌زایی بالاتری بودند که با مطالعات قبلی مطابقت داشت

### منابع

جهت ملاحظه به صفحات (87-89) متن انگلیسی مراجعه شود.

*R. solani* AG-3 و از طرف دیگر بیانگر توانایی نشانگر RAPD در تشخیص تنوع موجود در میان جدایه‌ها می‌باشد. بنابراین استفاده از نشانگر RAPD می‌تواند مشکل زمان، هزینه و عدم دقت را در تعیین گروه‌های سازگار رویشی با استفاد از محیط کشت در جدایه‌های *R. solani* AG-3 مرتفع سازد.

Archive of SID